

English summary:

1.2 Stability and long-term behavior

- \underline{x}^* is called Ljapunov stable, if for every neighbourhood U of \underline{x}^* there is a neighbourhood V of \underline{x}^* such that: $\underline{x} \in V \Rightarrow \underline{\phi}(\underline{x}, t) \in U \quad \forall t \geq 0$ 
- \underline{x}^* is called asymptotically stable, if there is a neighbourhood U of \underline{x}^* such that: $\underline{\phi}(U, t_2) \subset \underline{\phi}(U, t_1) \subset U$ for $0 < t_1 < t_2$ and $\lim_{t \rightarrow \infty} \underline{\phi}(\underline{x}, t) = \underline{x}^* \quad \forall \underline{x} \in U$ 
- linear / linearized systems in $n=2$:
$$\begin{pmatrix} \dot{x}_1 \\ \dot{x}_2 \end{pmatrix} = A \begin{pmatrix} x_1 \\ x_2 \end{pmatrix}$$

 boundary of qualitatively different dynamical regions \Rightarrow bifurcations
- dissipative systems: phase space is contracting

Fortsetzung Kapitel 1.2

Hamiltonsche Vektorfelder: $\dot{\underline{x}} = \underline{F}(\underline{x})$

$$\begin{pmatrix} \dot{q}_1 \\ \vdots \\ \dot{q}_n \\ \dot{p}_1 \\ \vdots \\ \dot{p}_n \end{pmatrix} = \begin{pmatrix} \frac{\partial H}{\partial p_1} \\ \vdots \\ \frac{\partial H}{\partial p_n} \\ -\frac{\partial H}{\partial q_1} \\ \vdots \\ -\frac{\partial H}{\partial q_n} \end{pmatrix}, \quad f = \# \text{ Freiheitsgrade}$$

Linearisierung: $\dot{\underline{x}} = A \underline{x}$

$$\dot{x}_i = \sum_{k=1}^f \left(\frac{\partial F_i}{\partial x_k} \right) x_k$$

$$\Rightarrow \operatorname{tr} A = \operatorname{div} \underline{F} = \sum_{i=1}^f \left(\frac{\partial}{\partial q_i} \frac{\partial H}{\partial p_i} - \frac{\partial}{\partial p_i} \frac{\partial H}{\partial q_i} \right) = 0$$

Aus $\operatorname{det} A = \sum_{i=1}^f \lambda_i$ folgt, dass keine asymptotische Stabilität möglich ist. (sondern nur Ljapunov-Stabilität).

Beweis: Sonst müssten alle $\operatorname{Re} \lambda_i > 0$ sein

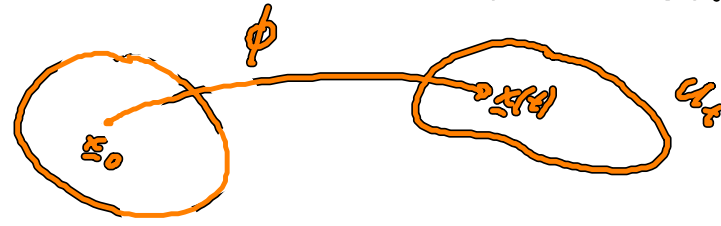
$$\Rightarrow \sum_{i=1} Re \lambda_i < 0 \quad \text{if } t_0 f = 0$$

\Rightarrow möglich nur $Re \lambda_i = 0$, $\lambda_i = \pm i\omega$ (Zentren)

Falls $f=1$ ($n=2$): Fixpunkte nur Zentren ($det Df > 0$)

oder Sattelpunkte ($det Df < 0$) sein.

Aus $t_0 f < 0$, $f < 0$ folgt der Liouville'sche Satz der klassischen statistischen Physik.



$$V_t = \int_{U_t} d^k x$$

$$= \int_{U_{t_0}} d^k x_0 \det D\phi_t(x_0)$$

$$= \int_{U_{t_0}} d^k x_0 \left[1 + (t-t_0) \underbrace{\sum_{i=1}^k \frac{\partial \bar{x}_i}{\partial x_0^i}}_{(\operatorname{div} \bar{F})|_{x_0}} + \dots \right]$$

$$= V_{t_0} + (t-t_0) \int_{U_{t_0}} d^k x_0 (\operatorname{div} \bar{F})|_{x_0} + O((t-t_0)^2)$$

$$\begin{aligned} \phi_t(x_0) &\approx x_0 / t \\ D\phi_t(x_0) &= \left(\frac{\partial x^i(t)}{\partial x_0^j} \right) \\ &\approx \frac{\partial x^i}{\partial x_0^j} + (t-t_0) \frac{\partial}{\partial t} \frac{\partial x^i}{\partial x_0^j} + \dots \\ &\stackrel{\text{div}}{\approx} \frac{\partial x^i}{\partial x_0^j} + (t-t_0) \frac{\partial}{\partial t} \frac{\partial x^i}{\partial x_0^j} + \dots \\ &\stackrel{\text{det}}{=} \frac{\partial x^i}{\partial x_0^j} = \frac{\partial \bar{x}_i}{\partial x_0^j} \\ &= \begin{pmatrix} 1 & \dots & & \\ & 1 & \dots & \\ & & \ddots & \end{pmatrix} \end{aligned}$$

$$\Rightarrow \frac{dV_t}{dt} = \lim_{\epsilon \rightarrow t_0} \frac{V_t - V_{t_0}}{t - t_0} = \int_{U_{t_0}} d^k x_0 (\operatorname{div} \bar{F})|_{x_0} = 0$$

\Rightarrow (Hammerwache System!)

Phaserraumvolumina blieben erhalten, d.h. Flüssigkeit inkompressibel!

Für dissipative Systeme gilt für kleine Volumina, die einem asymptotisch stabilen Fixpunkt ausgeschlossen:

$$\frac{dU_t}{dt} \approx \int_{U_t} d^k x (\operatorname{div} \bar{F})|_{x^*} - \lambda \cdot V_t \Rightarrow V_t = e^{\lambda t} V_{t_0}$$

mit Phaserraumkontraktionsrate $\lambda := \operatorname{div} \bar{F} = t_0 f$.

Insbesondere $\operatorname{Re}(\lambda) = \operatorname{Re} \lambda < 0$ (asymptotisch stabile Fixpunkte)

Def.: Dissipative Systeme sind solche, die Phaserraumvolumina kontrahieren.

Asymptotisch stabile Fixpunkte (Knoten, Fokus) heißen Sankte oder

Atraktoren

Beispiel: Lorenz-Modell (Edward Lorenz J. Atmos. Science 20, 130 (1963))

$$\dot{x} = -\sigma x + \sigma y$$

$$\dot{y} = -x^2 + r z - y \quad \text{mit Konstanten } \sigma, r, b > 0$$

$$\dot{z} = x y - bz$$

$$\text{Linearisierung: } \underline{A} = \begin{pmatrix} -\sigma & \sigma & 0 \\ -x & -r & b \\ y & x & -b \end{pmatrix} \Rightarrow \lambda = \text{tr } \underline{A} = -(\sigma + r + b) < 0$$

$$\Rightarrow V(t) = e^{-\frac{-(\sigma+r+b)t}{2}} V_0 \xrightarrow[t \rightarrow \infty]{} 0 \quad (\text{monotoner Schrumpfung des Phasorraums})$$

Hermann Haken: Semiklassische Lasergleichungen (Haken-L-Bloch-Gleichungen) sind äquivalent zum Lorenz-Modell.

Das Langzeitverhalten dissipativer Systeme wird durch Atraktoren bestimmt.

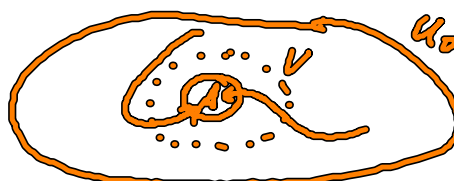
Def: Sei \underline{F} ein Vektorfeld auf $M = \mathbb{R}^n$.

Eine abgeschlossene, unter dem Fluss ϕ_t invariante ($\phi_t(A) \subseteq A$), unzählbare Teilmenge $A \subset M$ heißt Atraktor, falls

(i) $A \subset U_0$ (offene Umgebung von A) mit $\phi_t(U_0) \subseteq U_0$ ($t > 0$)

(ii) $\forall V$ mit $A \subset V \subset U_0 \exists T > 0$, so dass $\phi_t(U_0) \subset V$ ($t > T$), d.h.

es gibt ein Atraktorbecken U_0 , aus dem der Fluss asymptotisch in den Atraktor läuft.



Beispiele für Attraktoren:

Musterstdu. 4

4er Phasorraum

	Attraktor	Attraktor- dimension	
1	stabiler Fixpunkt	0	
2	stabiler Grenzzyklus	1	periodische Orbit
3	stabiler Torus	2	quasiperiodisch (2 Frequenzen) ω_1, ω_2 mit $\frac{\omega_1}{\omega_2} \notin \mathbb{Q}$
3	Seltsamer Attraktor	$2 < d < 3$ (fraktal)	chaotisch

1.3 Bifurkationen

Frage: Abhängigkeit des Flusses von einem Kontrollparameter μ ?

Zahl und Art der Attraktoren kann sich schlagartig bei einem kritischen Wert μ_c ändern \rightarrow Bifurkation („Verzweigung“ der Lösungsmenge/Möglichkeit)

Notwendige Voraussetzung: Nichtlinearität

Bifurkationen sind verknüpft mit Stabilitätswechsel

(\rightarrow Untersuchung linearer Stabilität der Fixpunkte im Fall von lokalen Bifurkationen)

Klassifizierung der einfachsten Bifurkationen:

(A) Eigenwert - Null - Bifurkationen: $\lambda < 0 \rightarrow \lambda > 0$

stabiler instabiler Fixpunkt

Fixpunkt
($\det A > 0$)

($\alpha \neq \infty$)

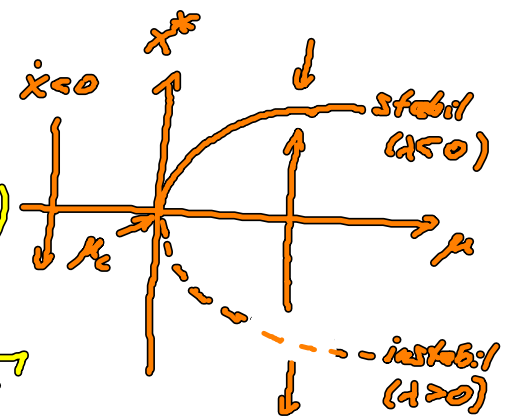
(A1) Sattel-Knoten-Bifurkation

Normalform: $\dot{x} = \mu - x^2$

Fixpunkt: $x^* = \pm\sqrt{\mu}$ (rostrot wenn $\mu \geq 0$)

Linearisierung: $\dot{x} \approx x - x^*$: $\dot{x} = -\lambda x$ mit $\lambda \leq 0$

$$\lambda \leq 0 \quad \text{für } x^* = \pm\sqrt{\mu}$$



Bifurkationsdiagramm

$\mu_c = 0$: $\lambda = 0$ Bifurkationspunkt